

Program EVALPLOT
(Version 2021-1)

by

Dermott E. Cullen
(Present Contact Information)

Dermott E. Cullen
1466 Hudson Way
Livermore, CA 94550
U.S.A.

Tele: 925-443-1911

E.Mail: redcullen1@comcast.net

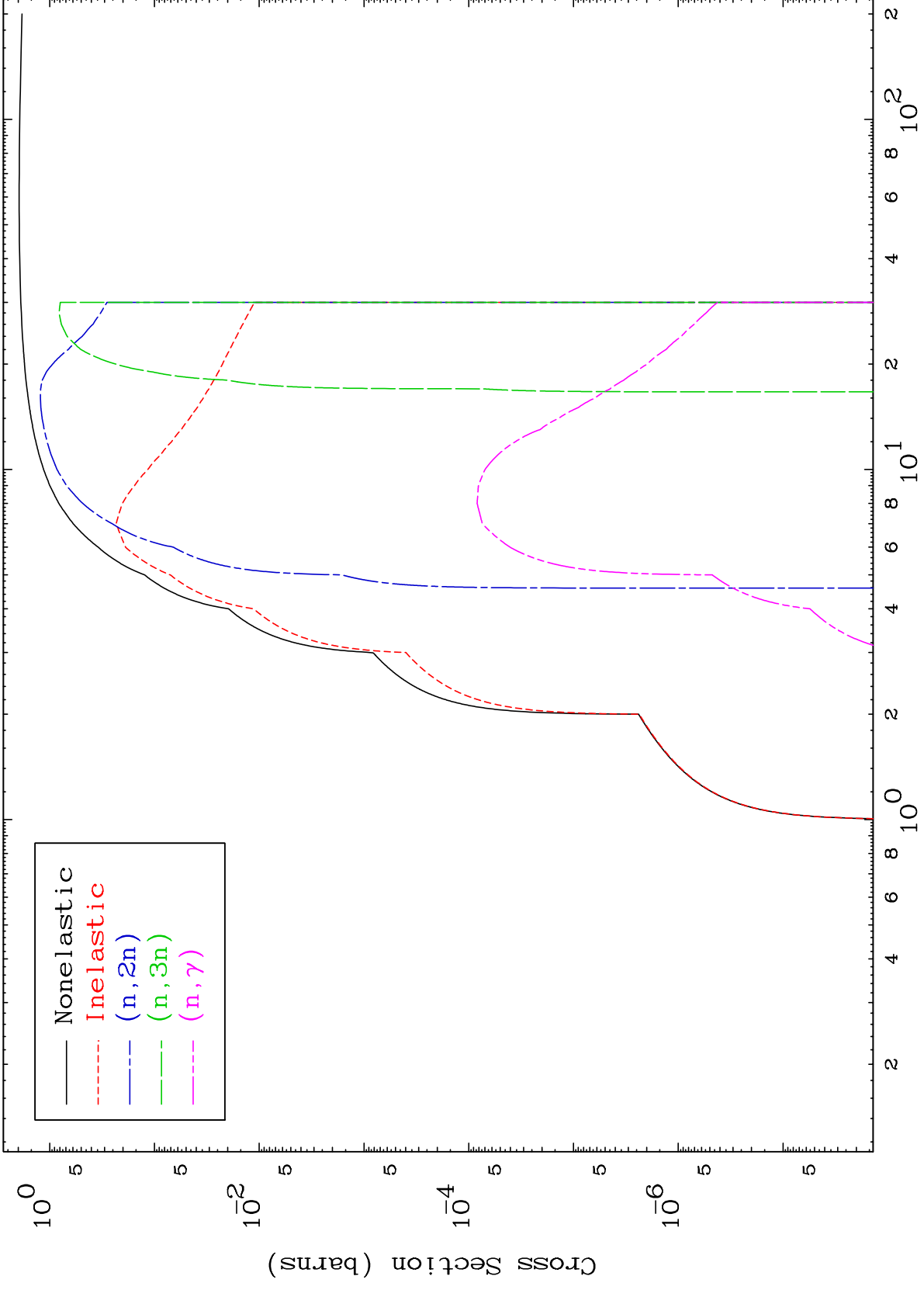
Web: redcullen1.net/HOMEPAGE.NEW

Press Mouse Button to Start

MAT 3835

Deuteron Major
0 Kelvin Cross Sections

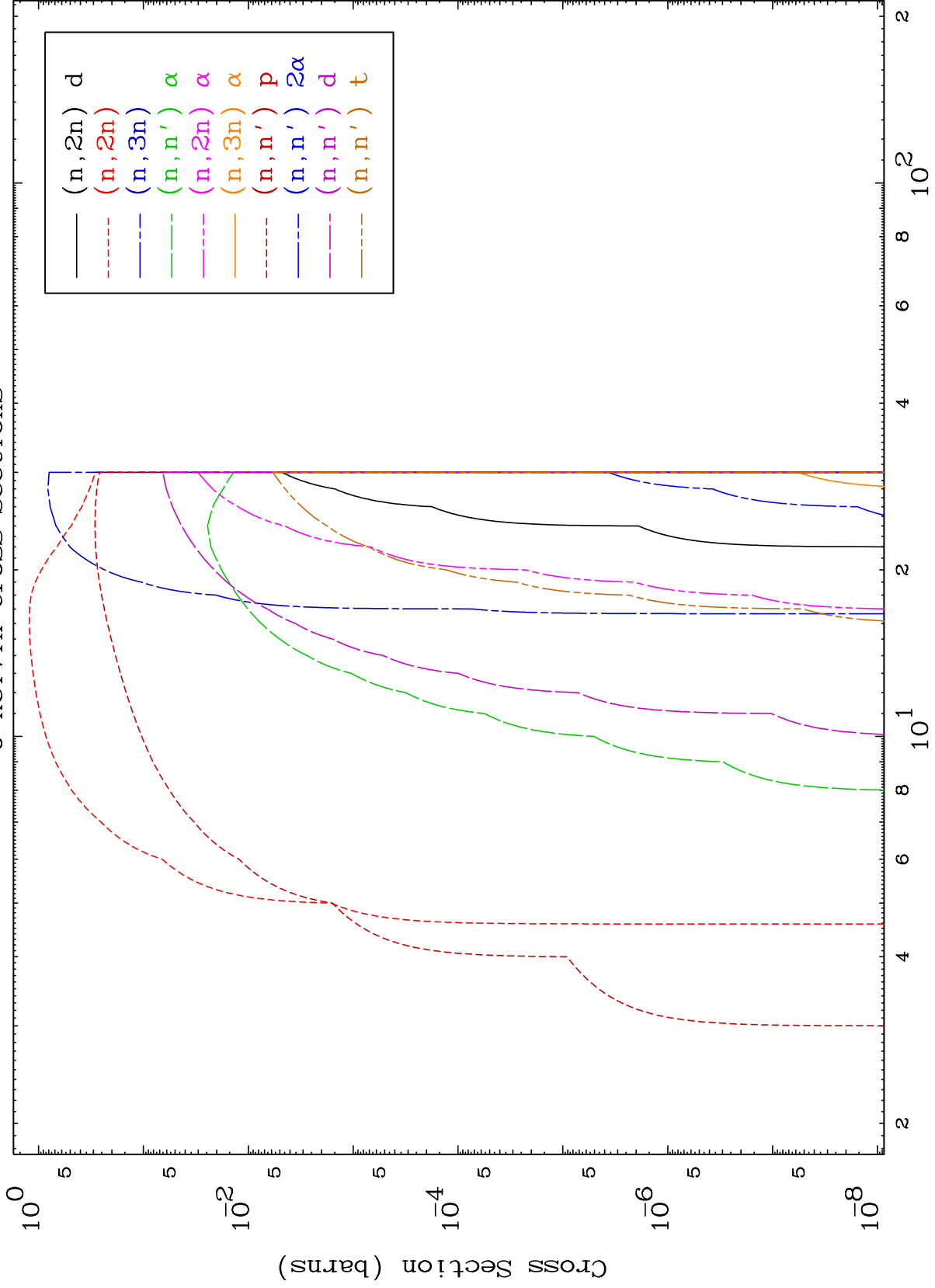
38-Sr-87m



MAT 3835

Deuteron Neutron Absorption
0 Kelvin Cross Sections

38-Sr-87m



2

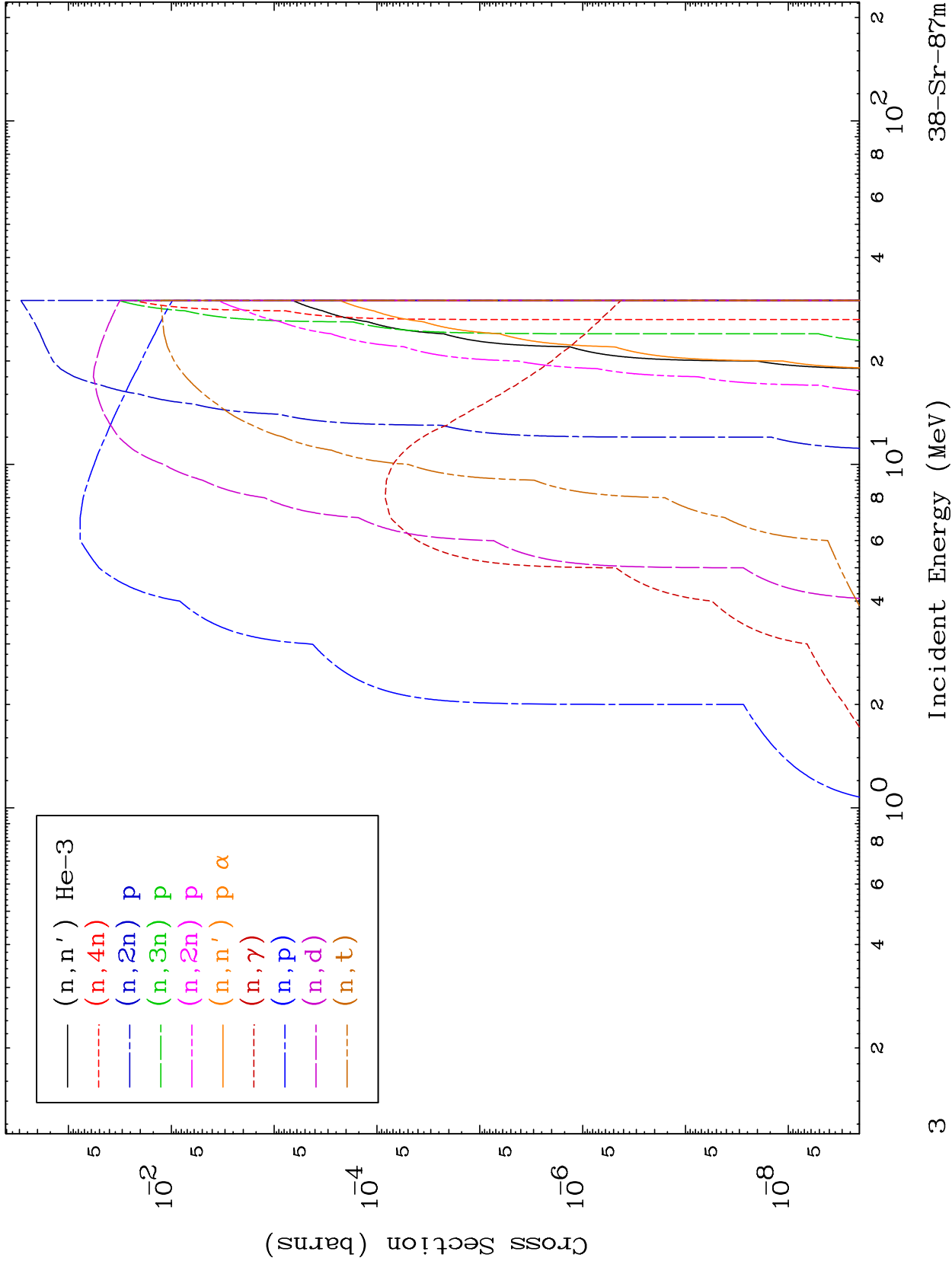
Incident Energy (MeV)

38-Sr-87m

MAT 3835

Deuteron Neutron Absorption
0 Kelvin Cross Sections

³⁸Sr-87m



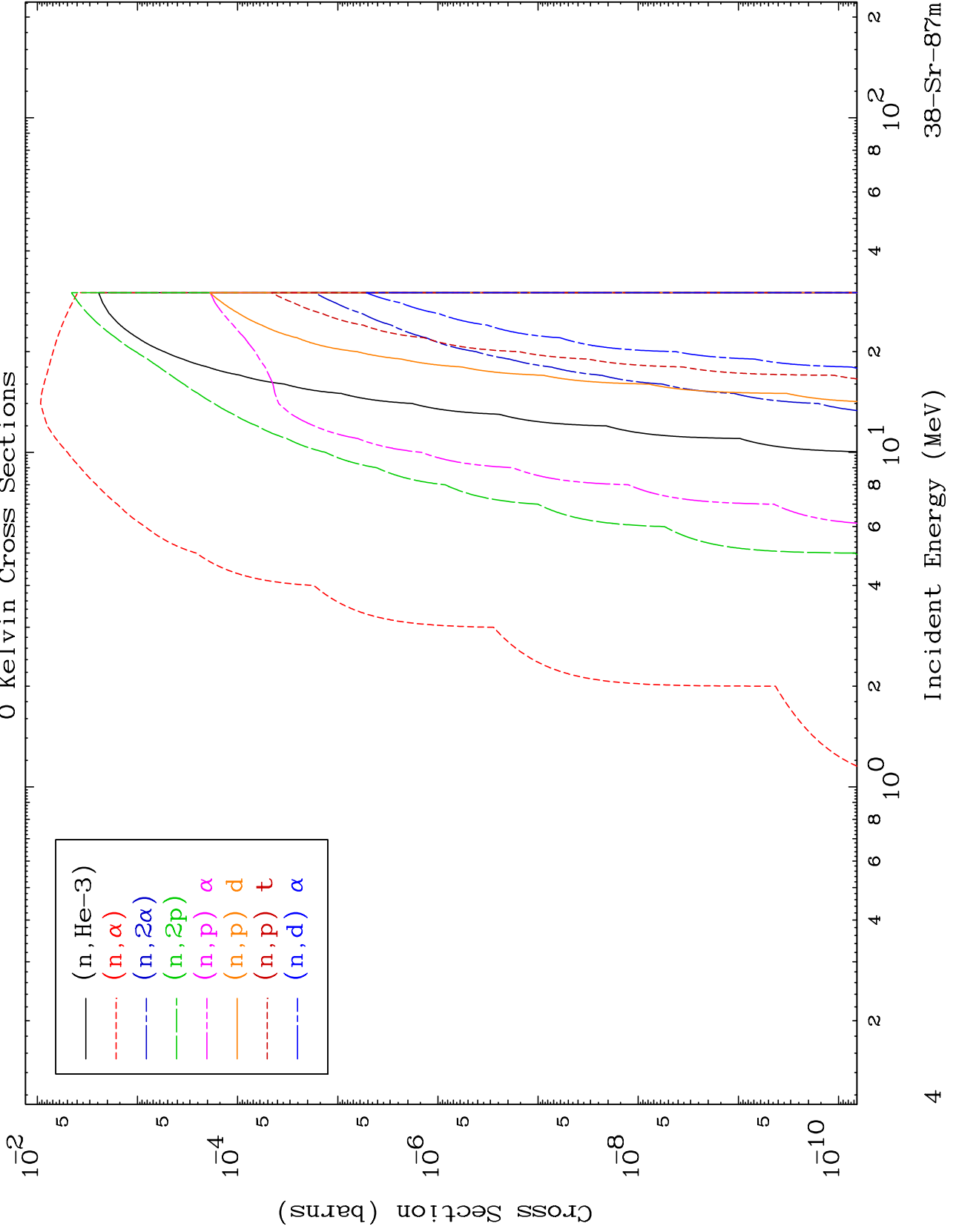
³⁸Sr-87m

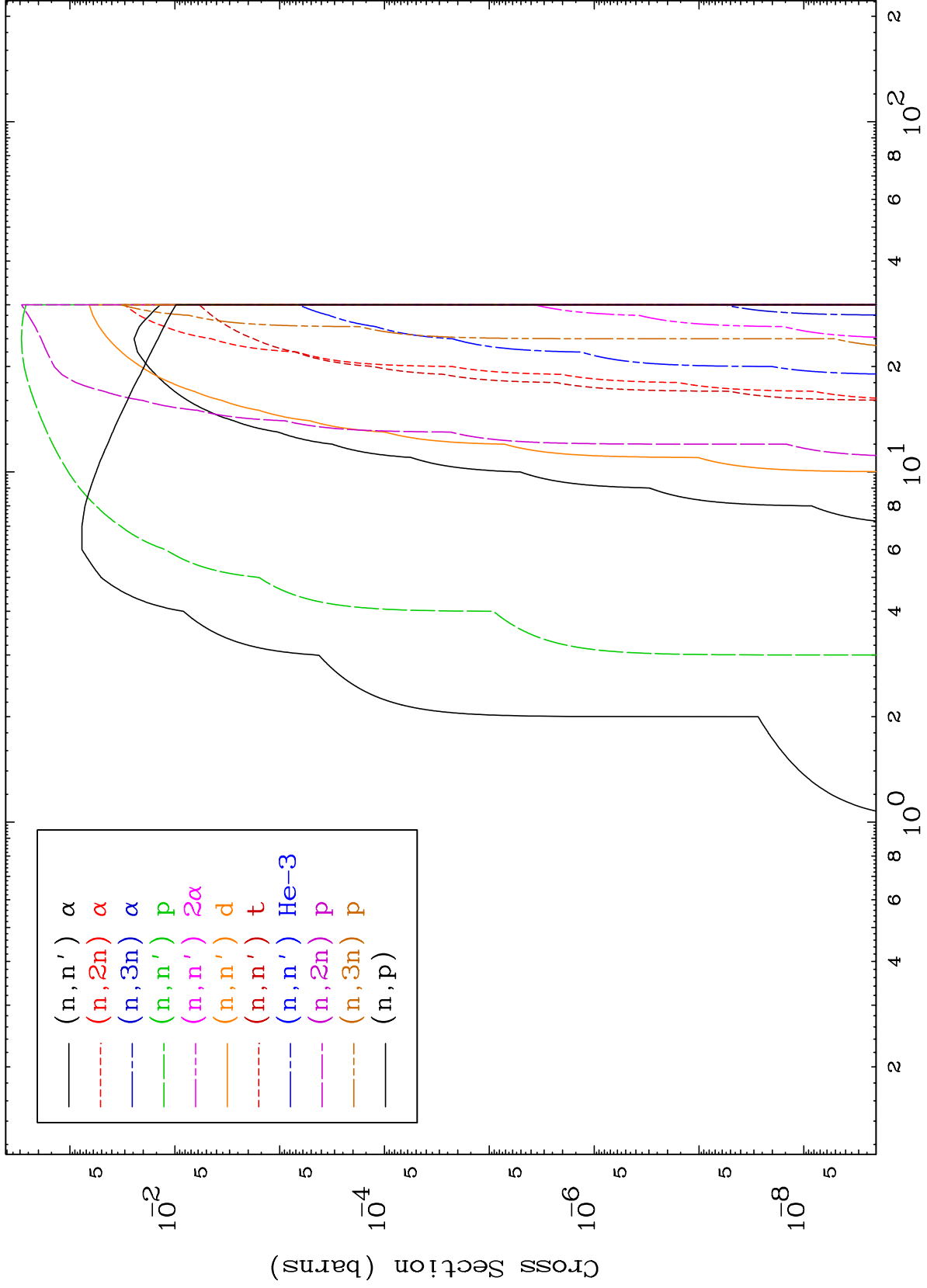
Incident Energy (MeV)

MAT 3835

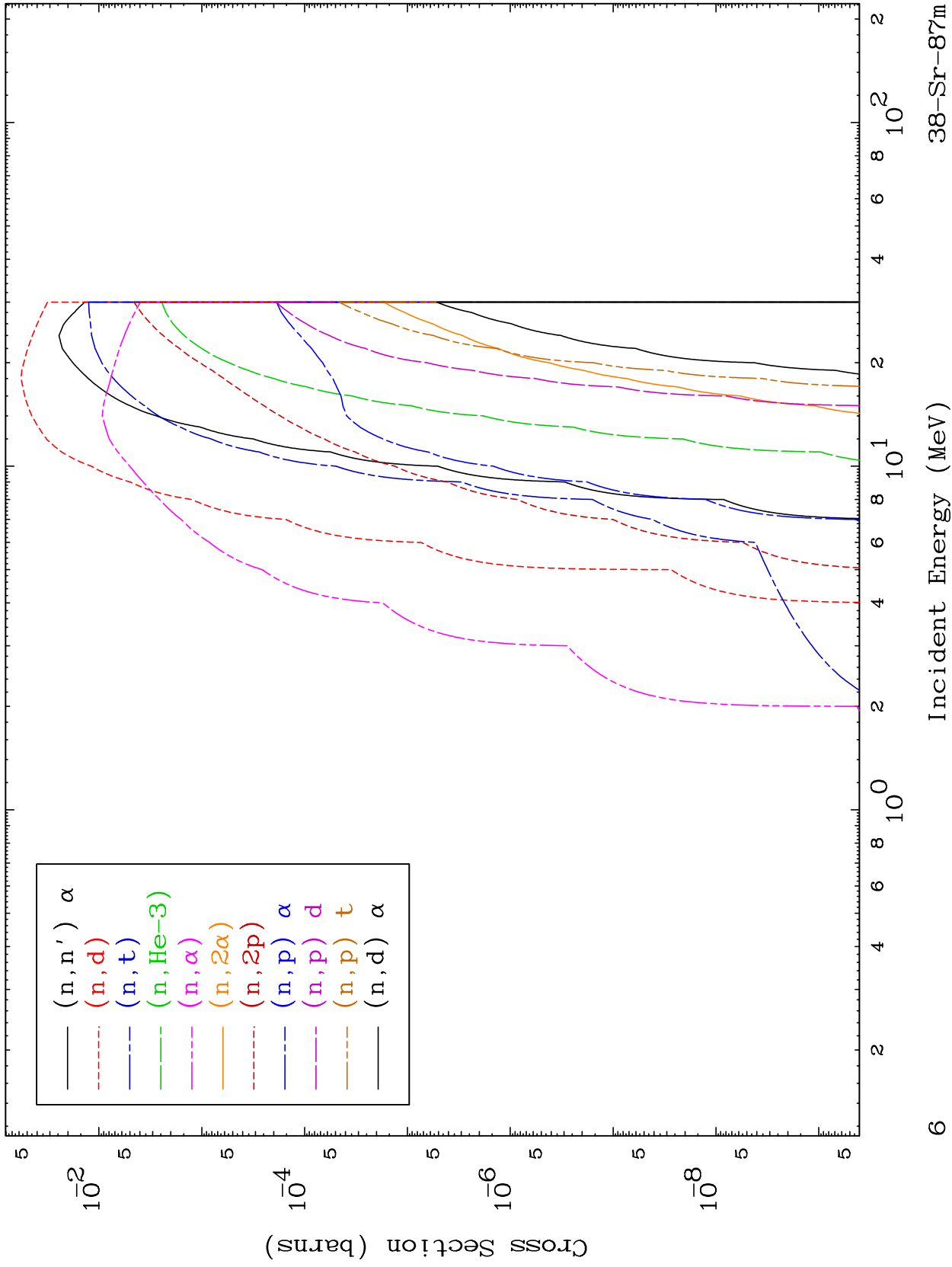
Deuteron Neutron Absorption
0 Kelvin Cross Sections

38-Sr-87m





—	(n, n')	α
- - -	(n, 2n)	α
- · - ·	(n, 3n)	α
- · - · - ·	(n, n')	p
- · - · - · - ·	(n, n')	2α
- · - · - · - · - ·	(n, n')	d
- · - · - · - · - · - ·	(n, n')	t
- · - · - · - · - · - · - ·	(n, n')	He-3
- · - · - · - · - · - · - · - ·	(n, 2n)	p
- · - · - · - · - · - · - · - · - ·	(n, 3n)	p
- · - · - · - · - · - · - · - · - · - ·	(n, p)	

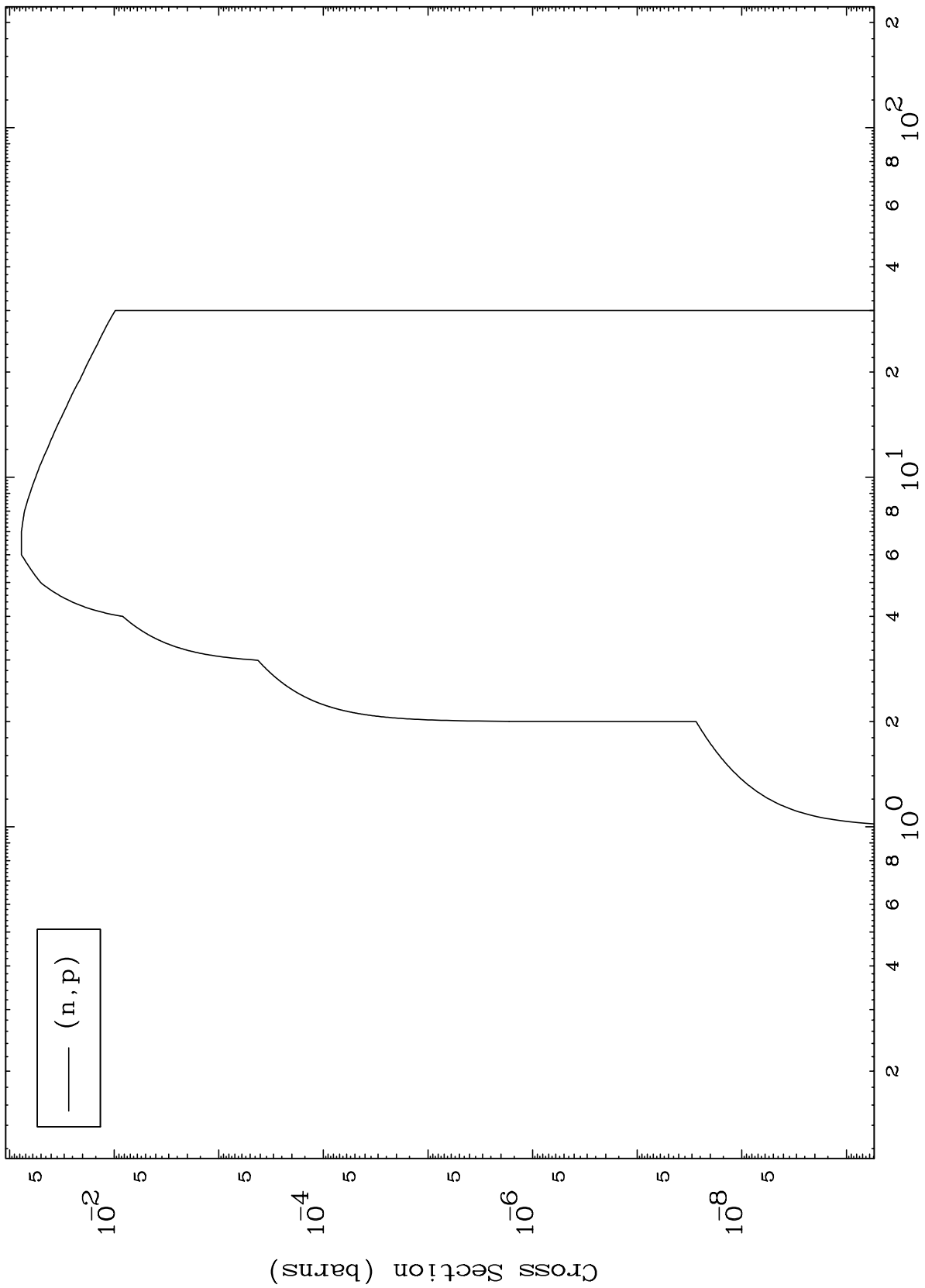


MAT 3835

(d,p) Levels

38-Sr-87m

0 Kelvin Cross Sections

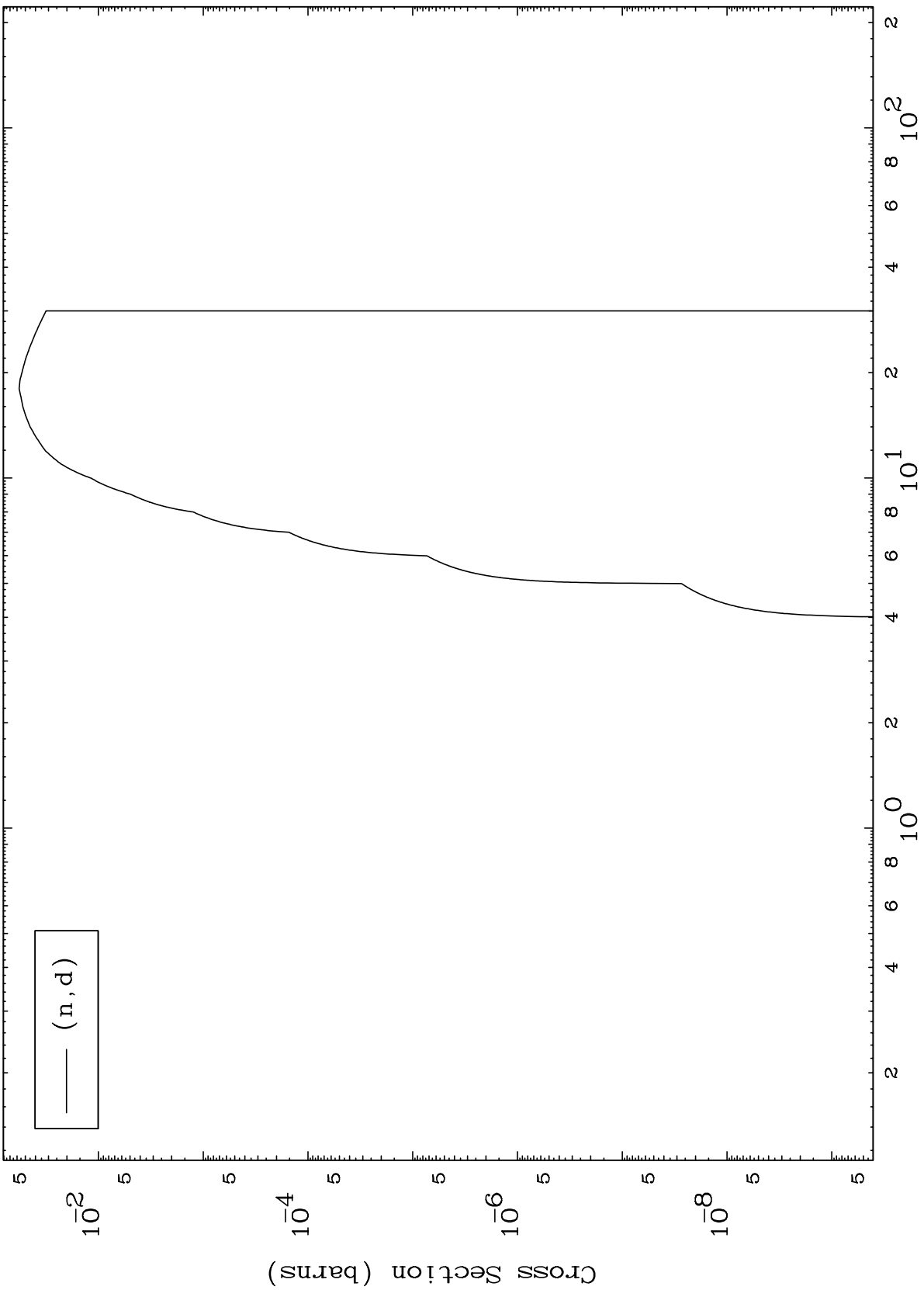


MAT 3835

(d,d) Levels

38-Sr-87m

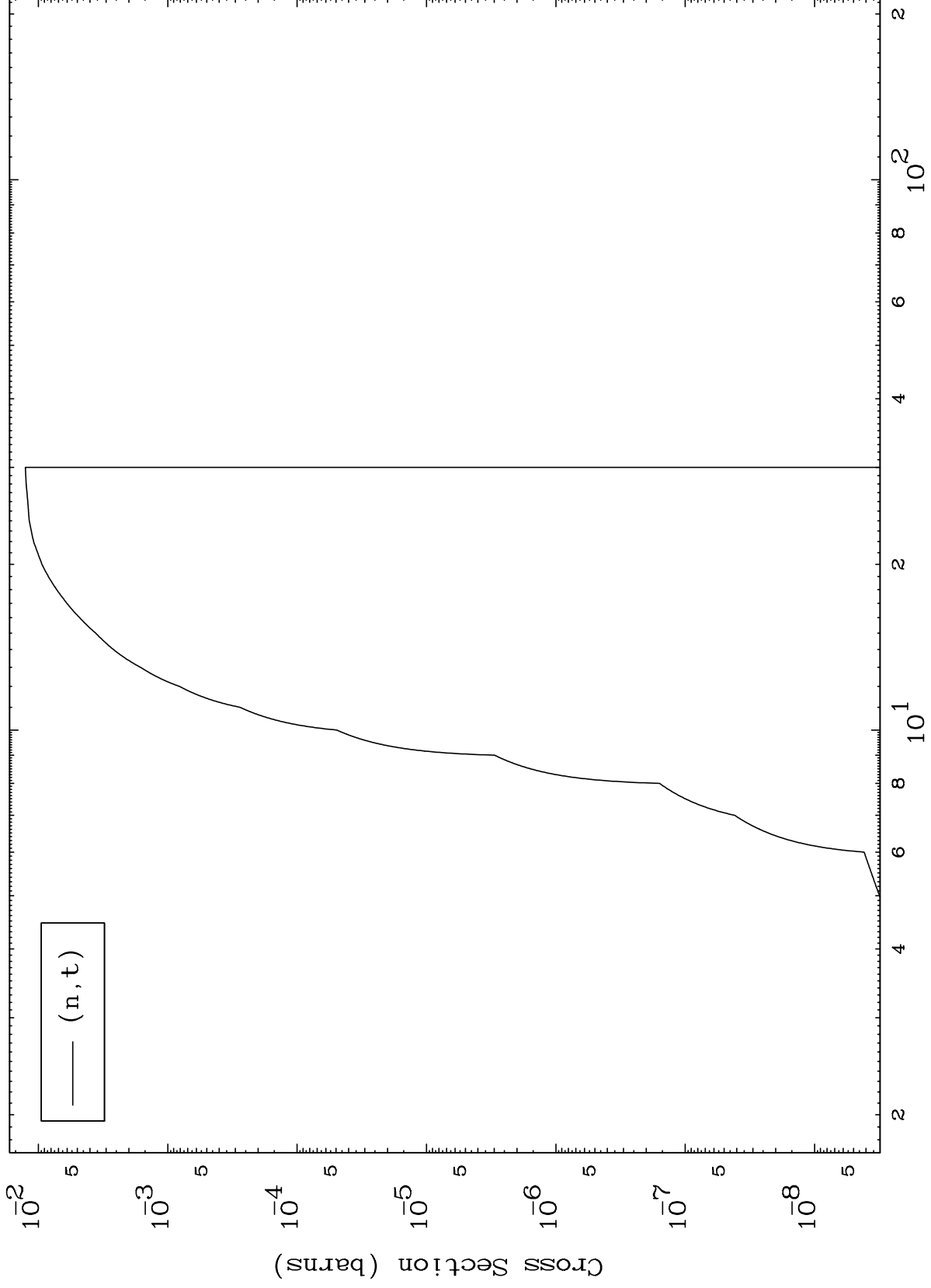
0 Kelvin Cross Sections



MAT 3835

(d,t) Levels
0 Kelvin Cross Sections

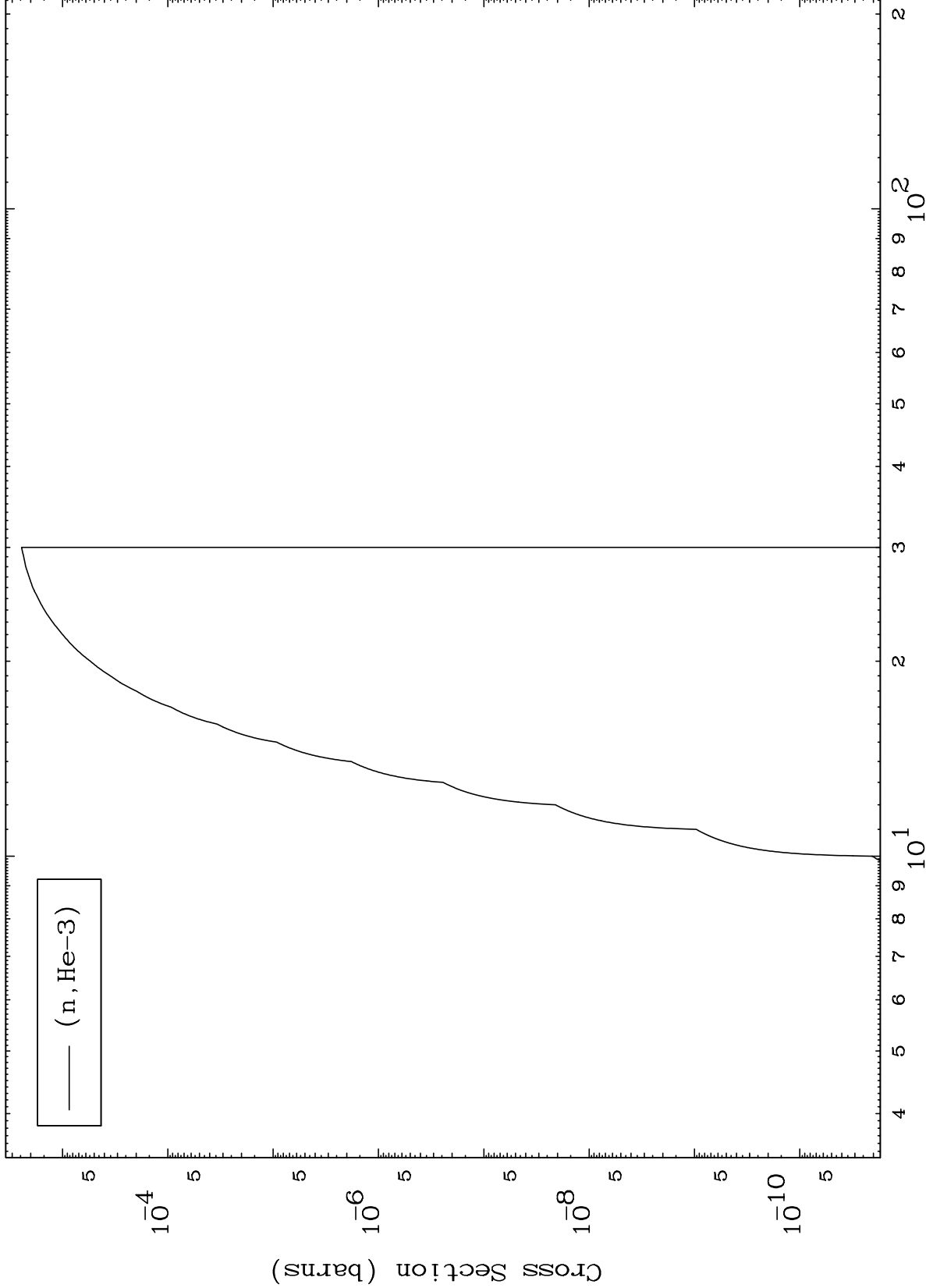
38-Sr-87m



MAT 3835

(d,He3) Levels
0 Kelvin Cross Sections

38-Sr-87m



10

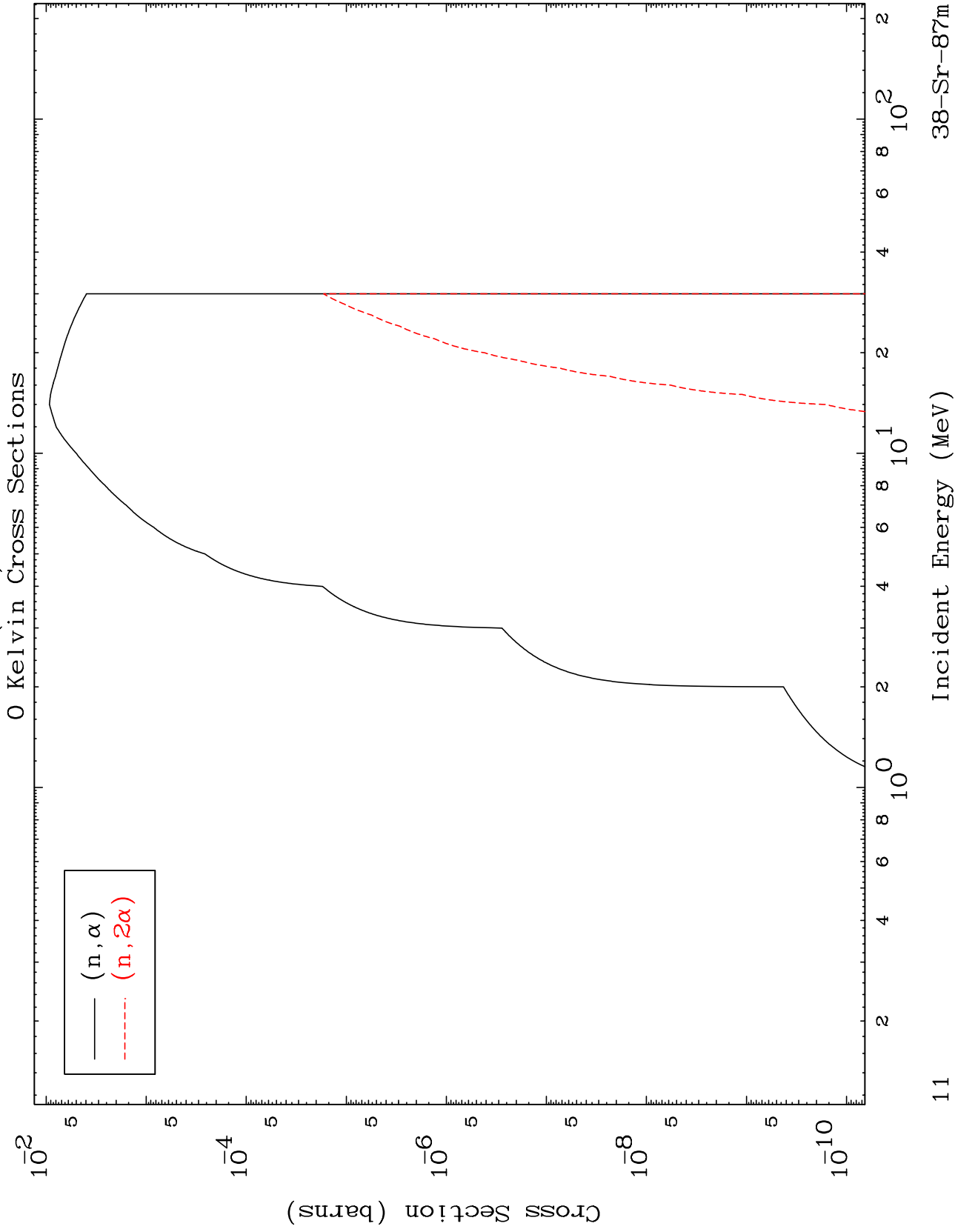
Incident Energy (MeV)

38-Sr-87m

MAT 3835

(d, α) Levels

38-Sr-87m

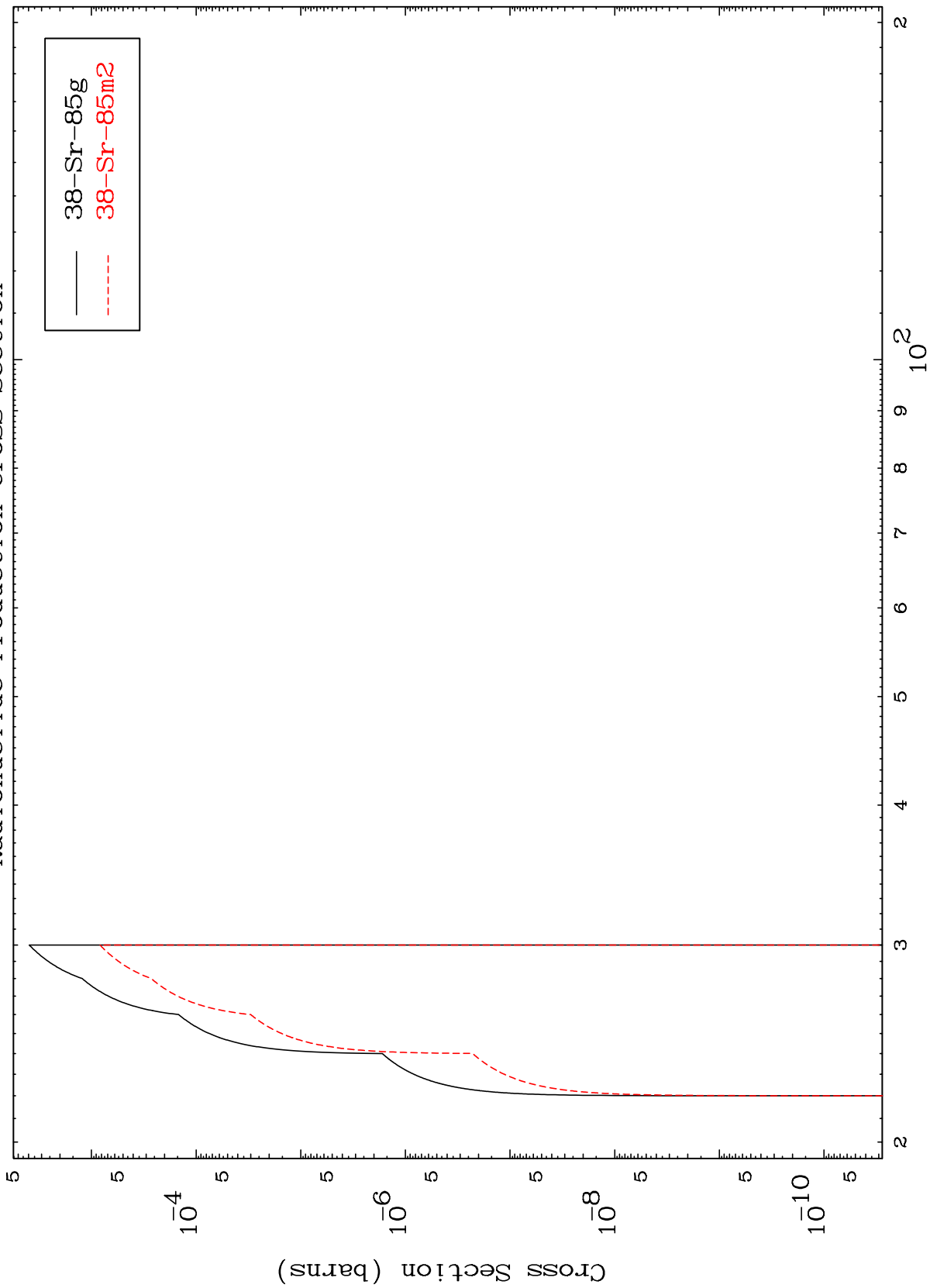


MAT 3835

(n,2n) d

³⁸Sr-87m

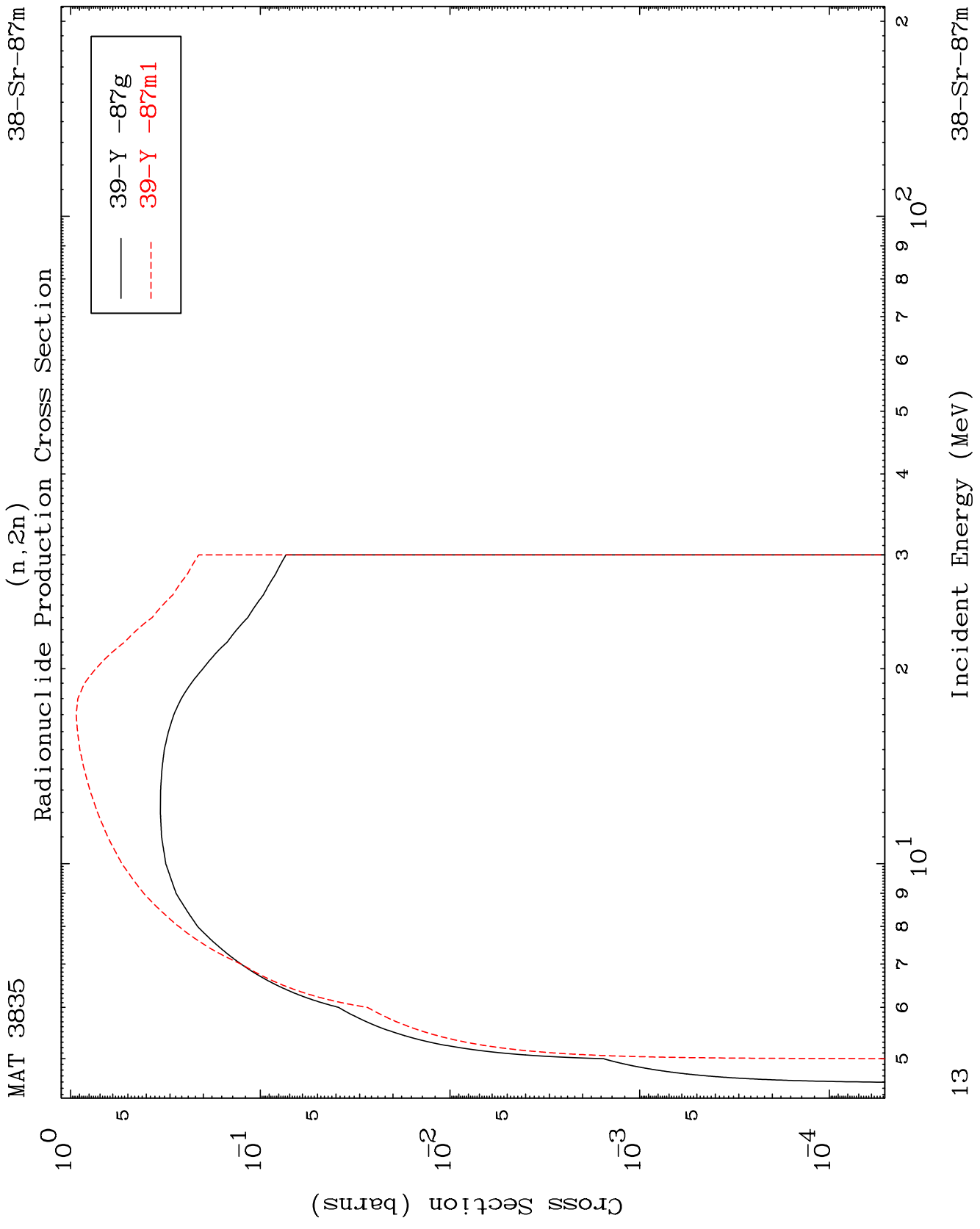
Radionuclide Production Cross Section



12

Incident Energy (MeV)

³⁸Sr-87m

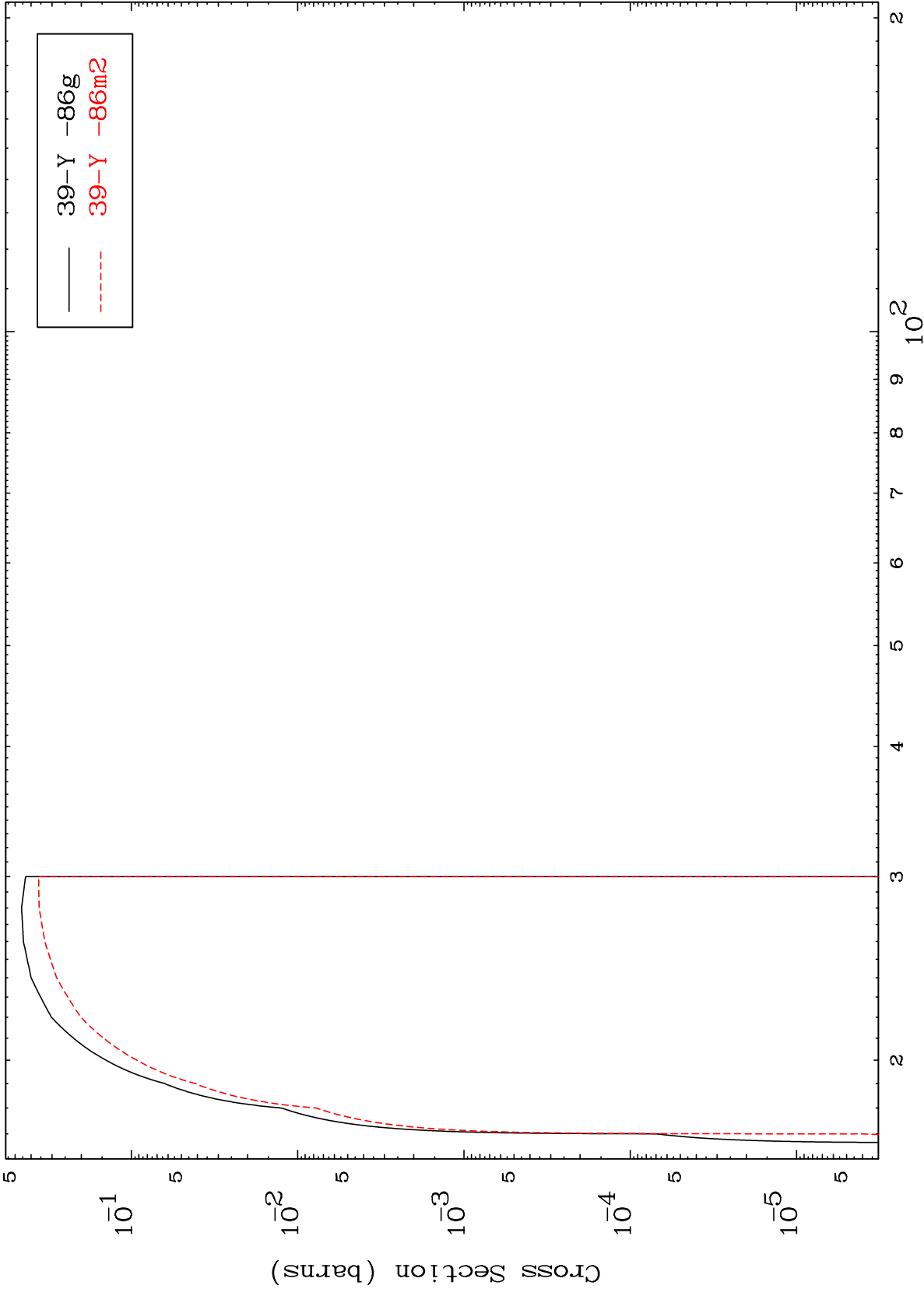


MAT 3835

(n,3n)

38-Sr-87m

Radionuclide Production Cross Section



14

Incident Energy (MeV)

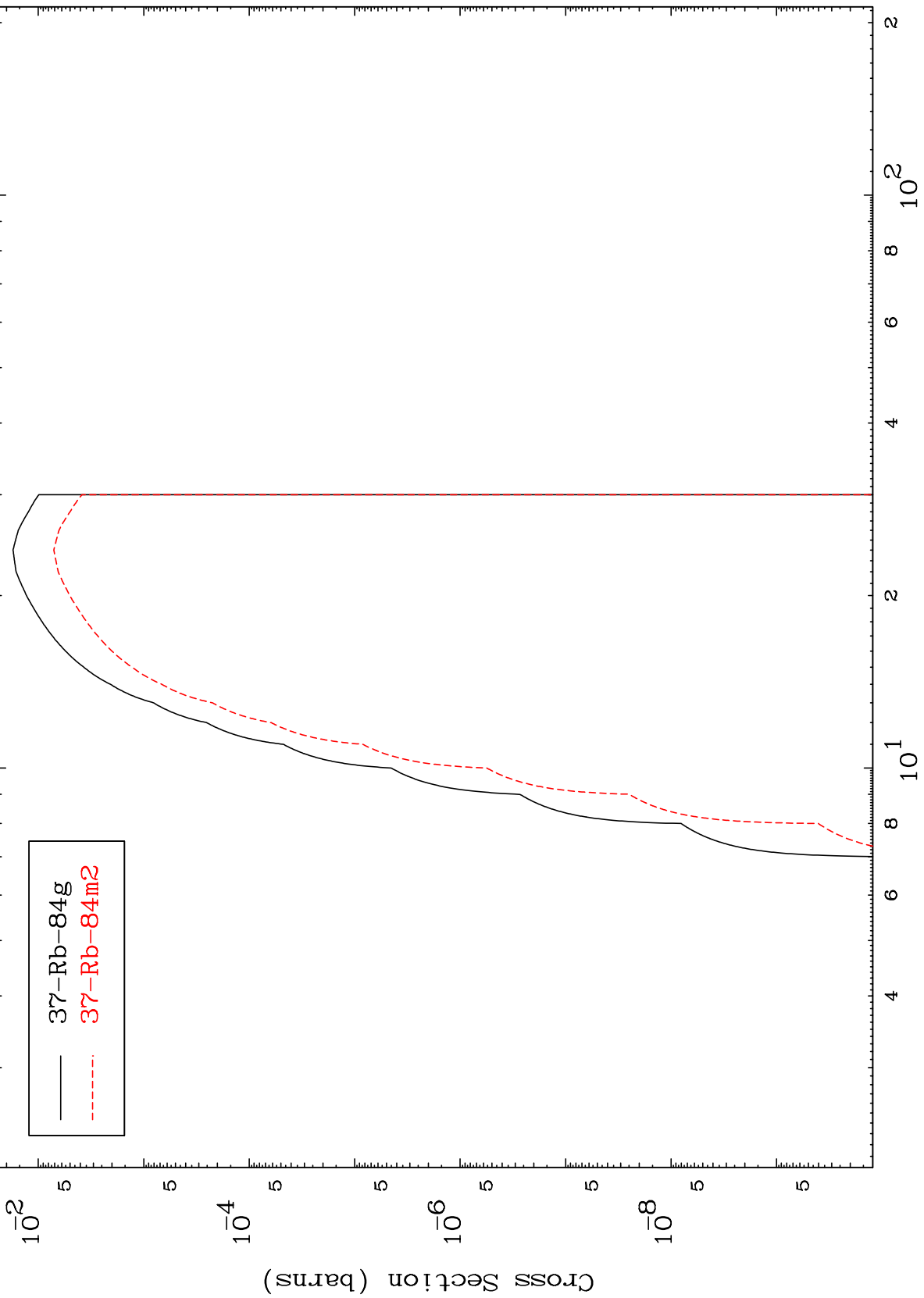
38-Sr-87m

MAT 3835

$(n, n') \alpha$

$^{38}\text{Sr}-87\text{m}$

Radionuclide Production Cross Section

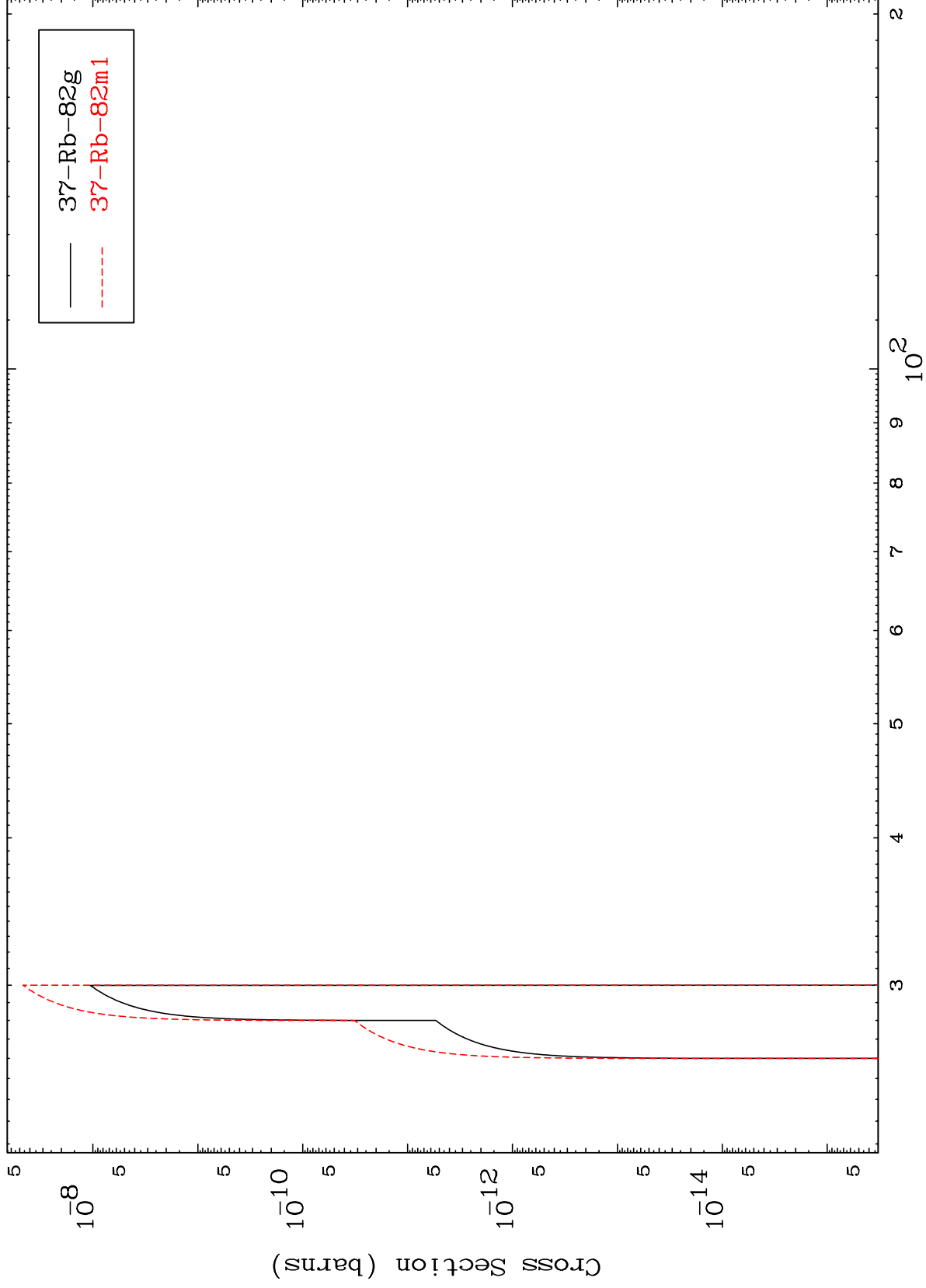


MAT 3835

$(n,3n) \alpha$

$^{38}\text{Sr-87m}$

Radionuclide Production Cross Section



16

Incident Energy (MeV)

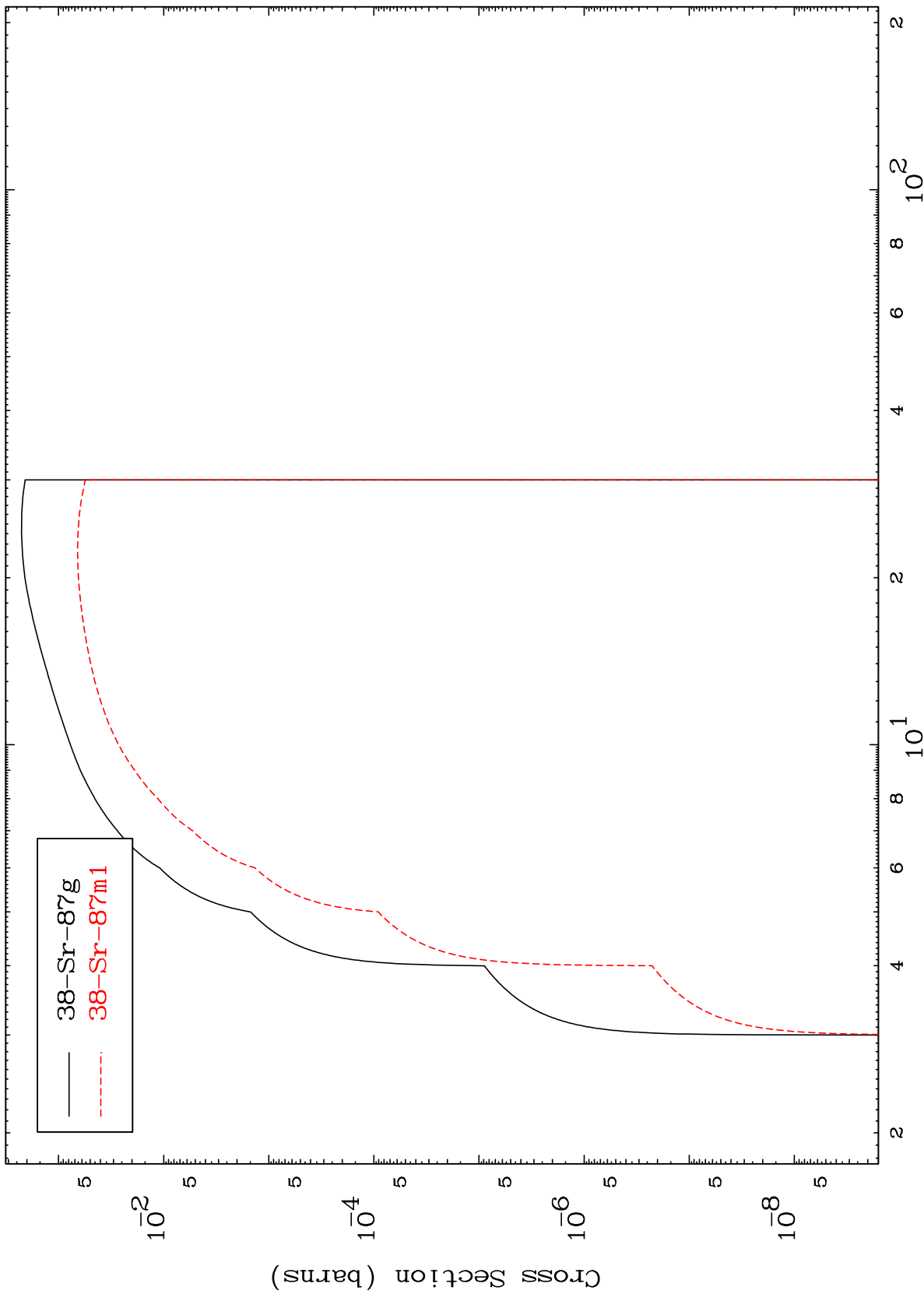
$^{38}\text{Sr-87m}$

MAT 3835

(n,n') p

³⁸Sr-⁸⁷m

Radionuclide Production Cross Section



17

Incident Energy (MeV)

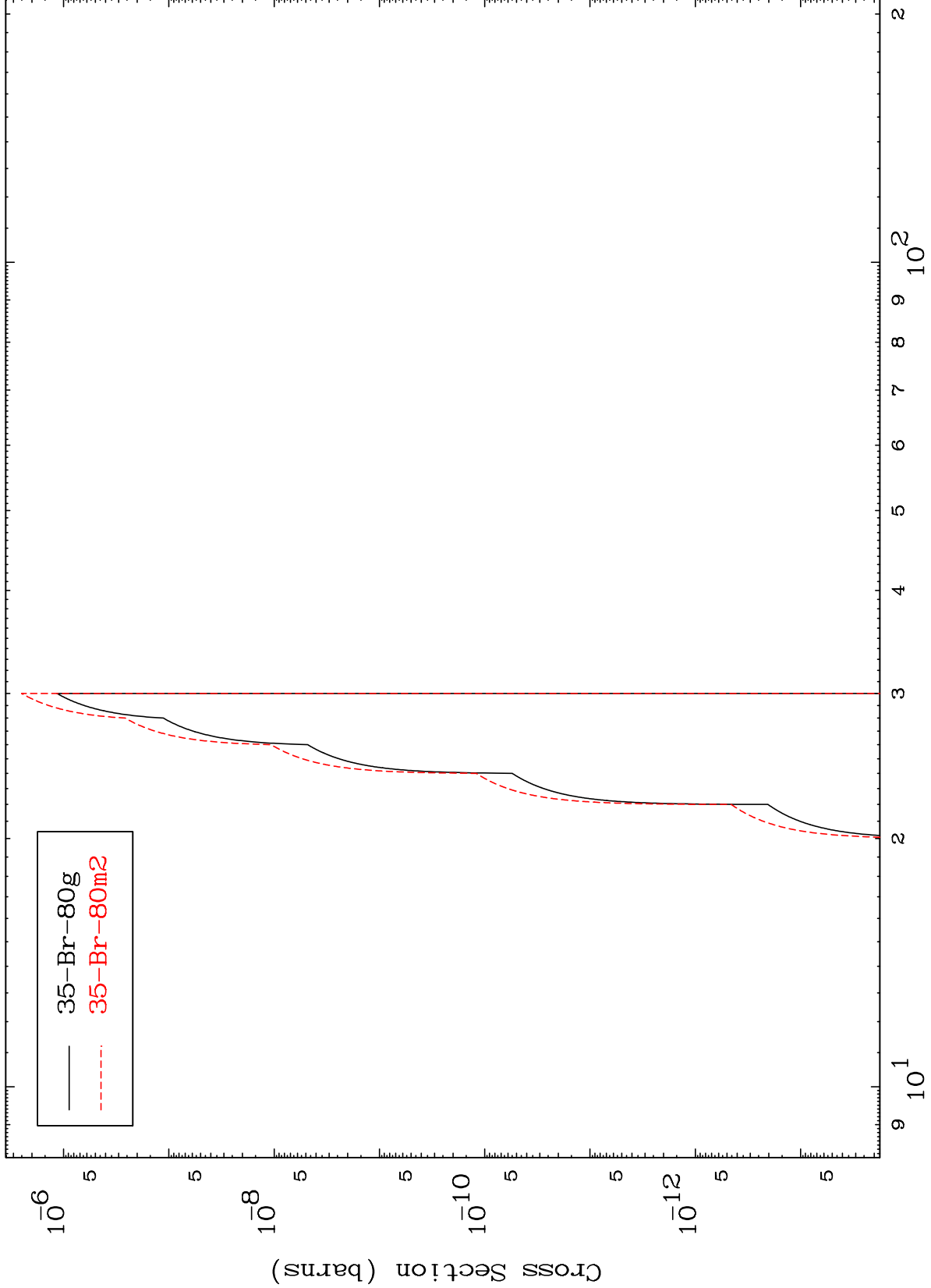
³⁸Sr-⁸⁷m

MAT 3835

(n,n') 2α

38-Sr-87m

Radionuclide Production Cross Section



— 35-Br-80g
- - - 35-Br-80m2

18

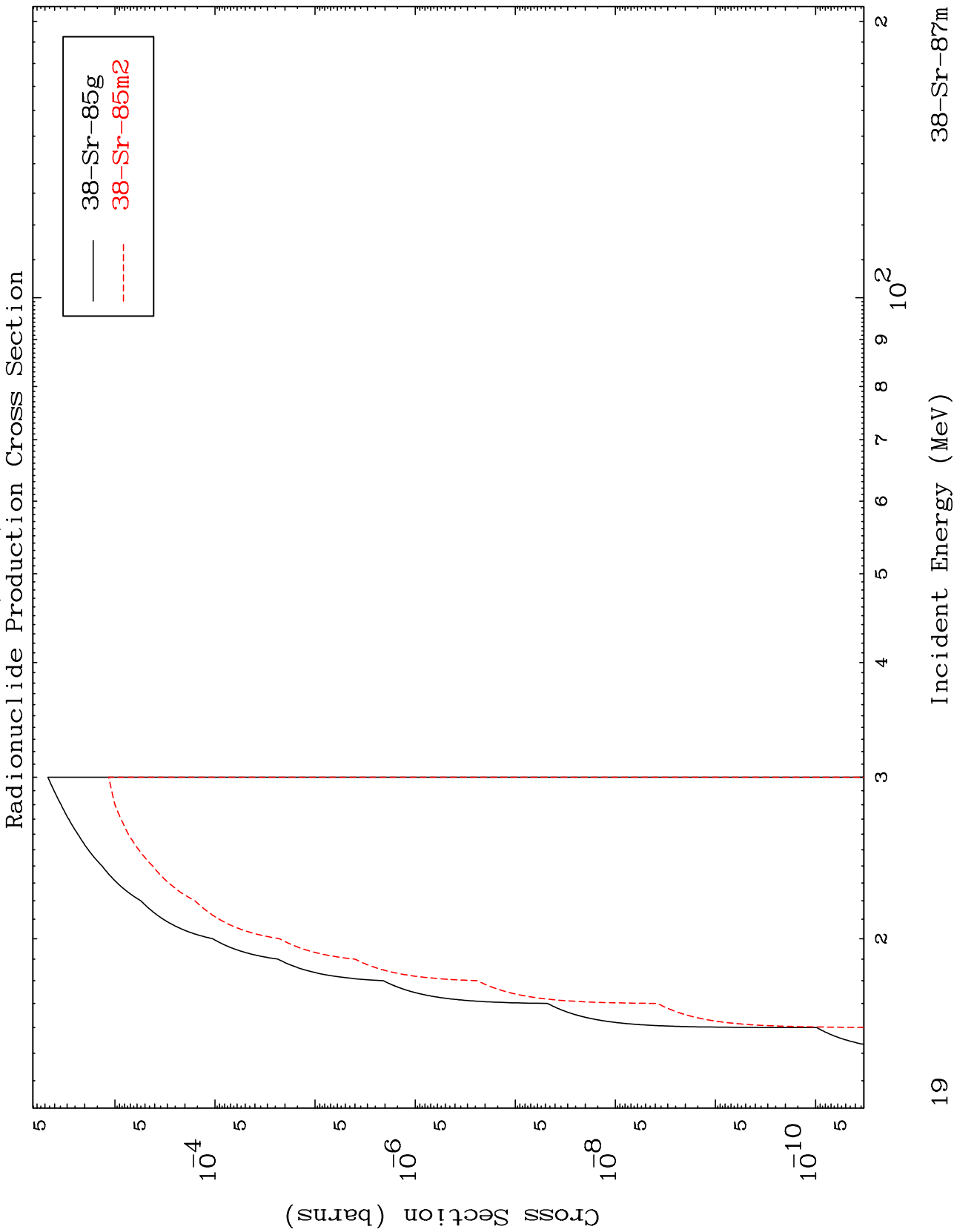
Incident Energy (MeV)

38-Sr-87m

MAT 3835

(n,n') t

38-Sr-87m



19

Incident Energy (MeV)

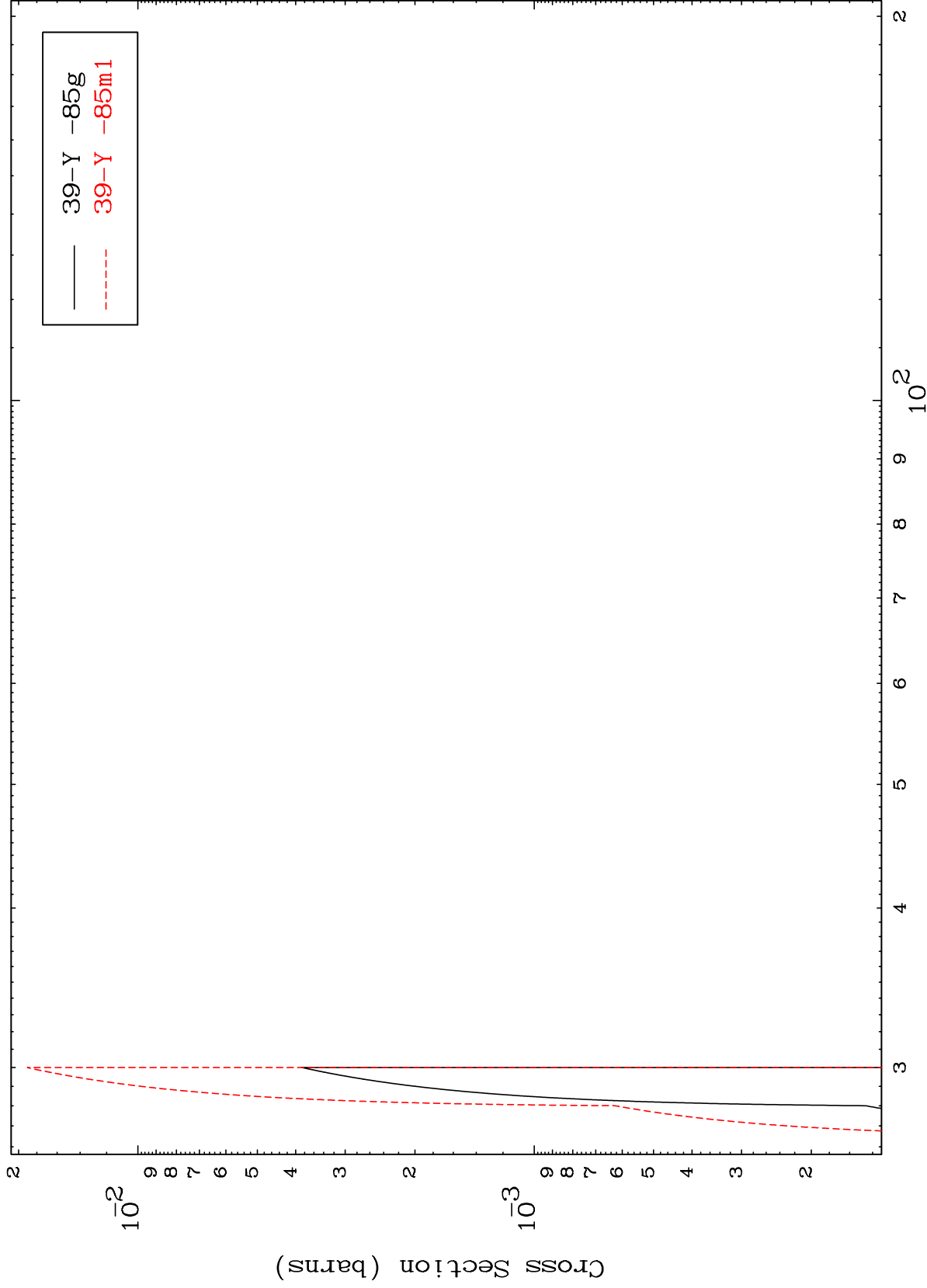
38-Sr-87m

MAT 3835

(n,4n)

38-Sr-87m

Radionuclide Production Cross Section



20

Incident Energy (MeV)

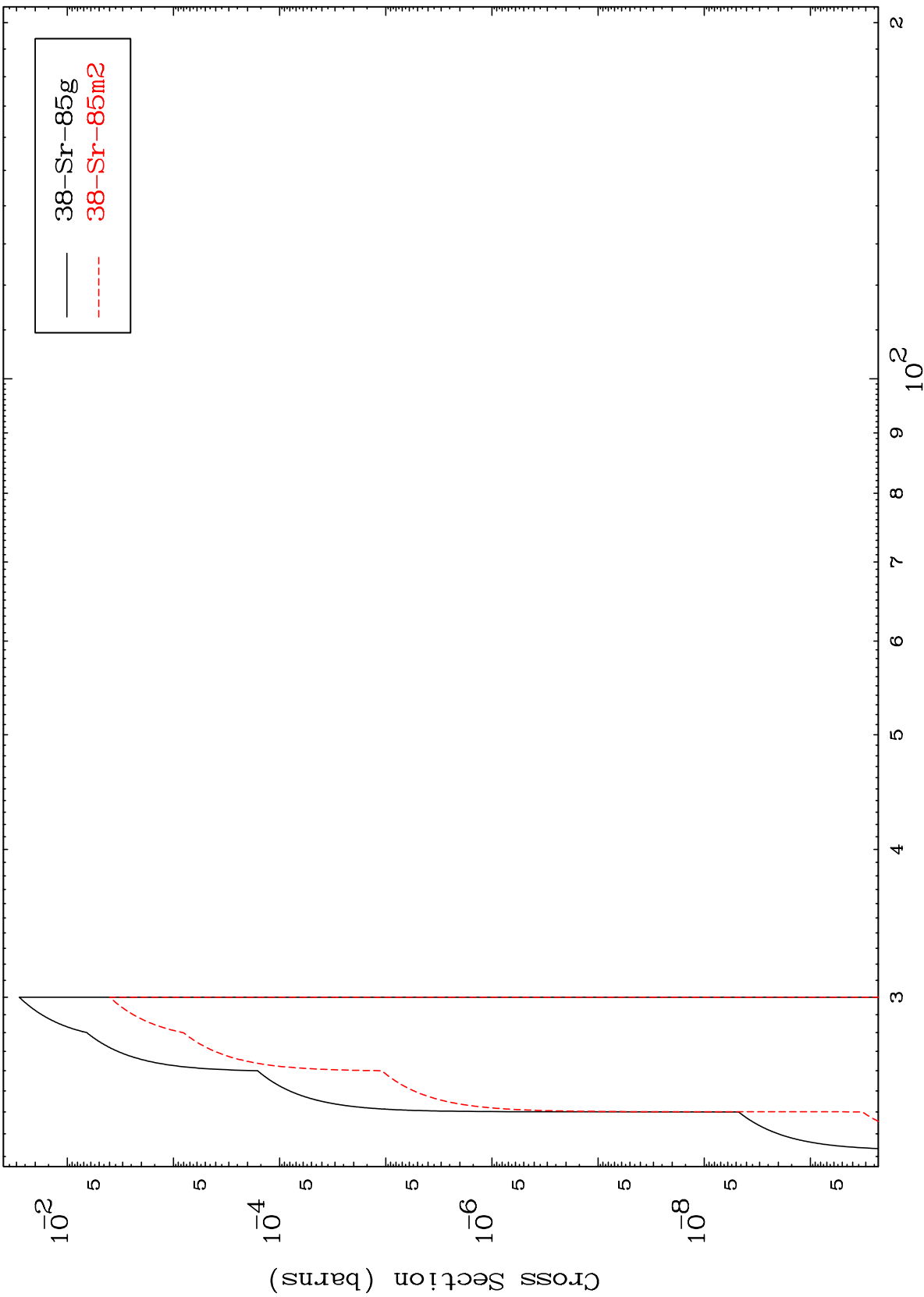
38-Sr-87m

MAT 3835

(n,3n) p

38-Sr-87m

Radionuclide Production Cross Section

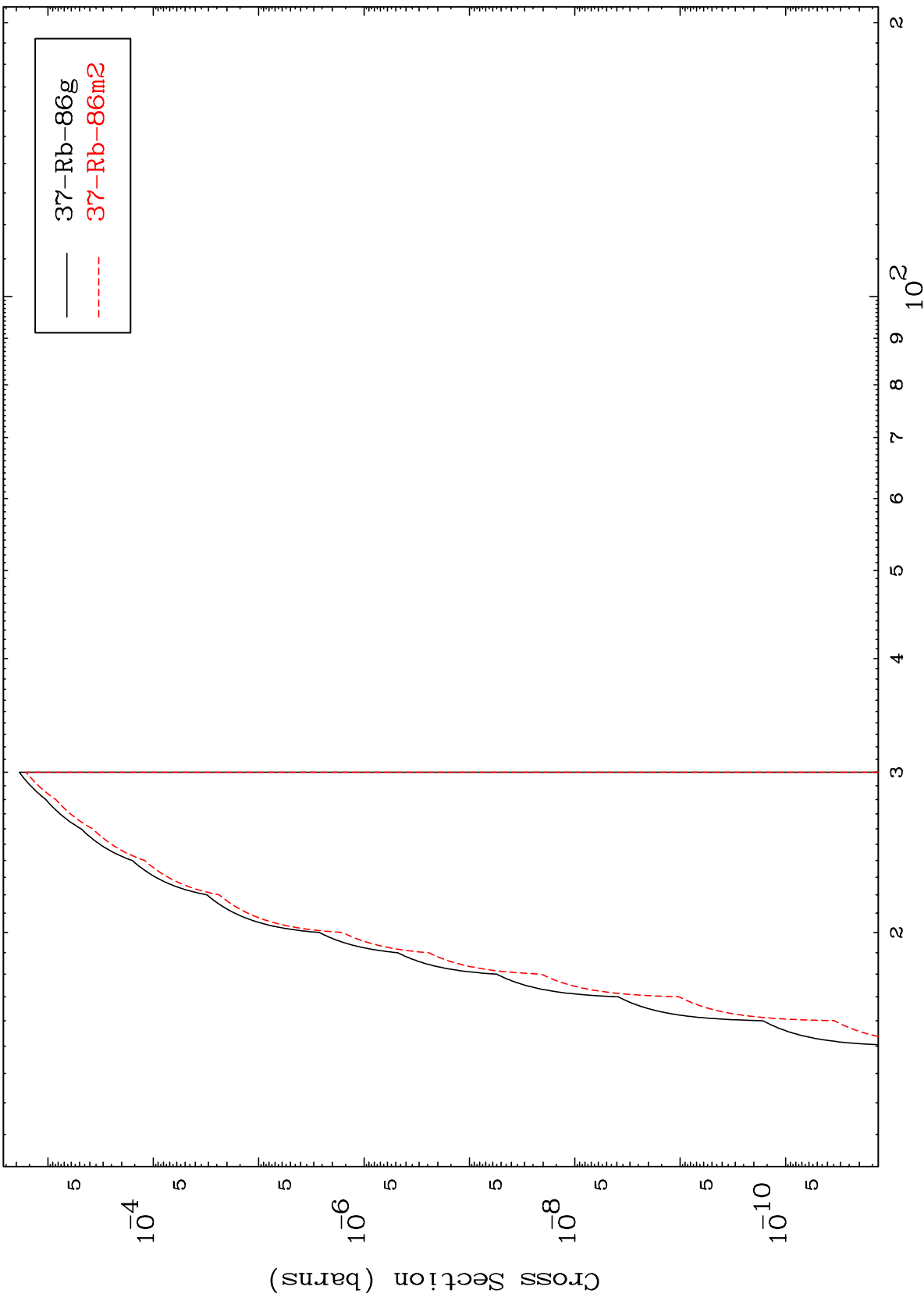


MAT 3835

(n,2n) p

38-Sr-87m

Radionuclide Production Cross Section



22

Incident Energy (MeV)

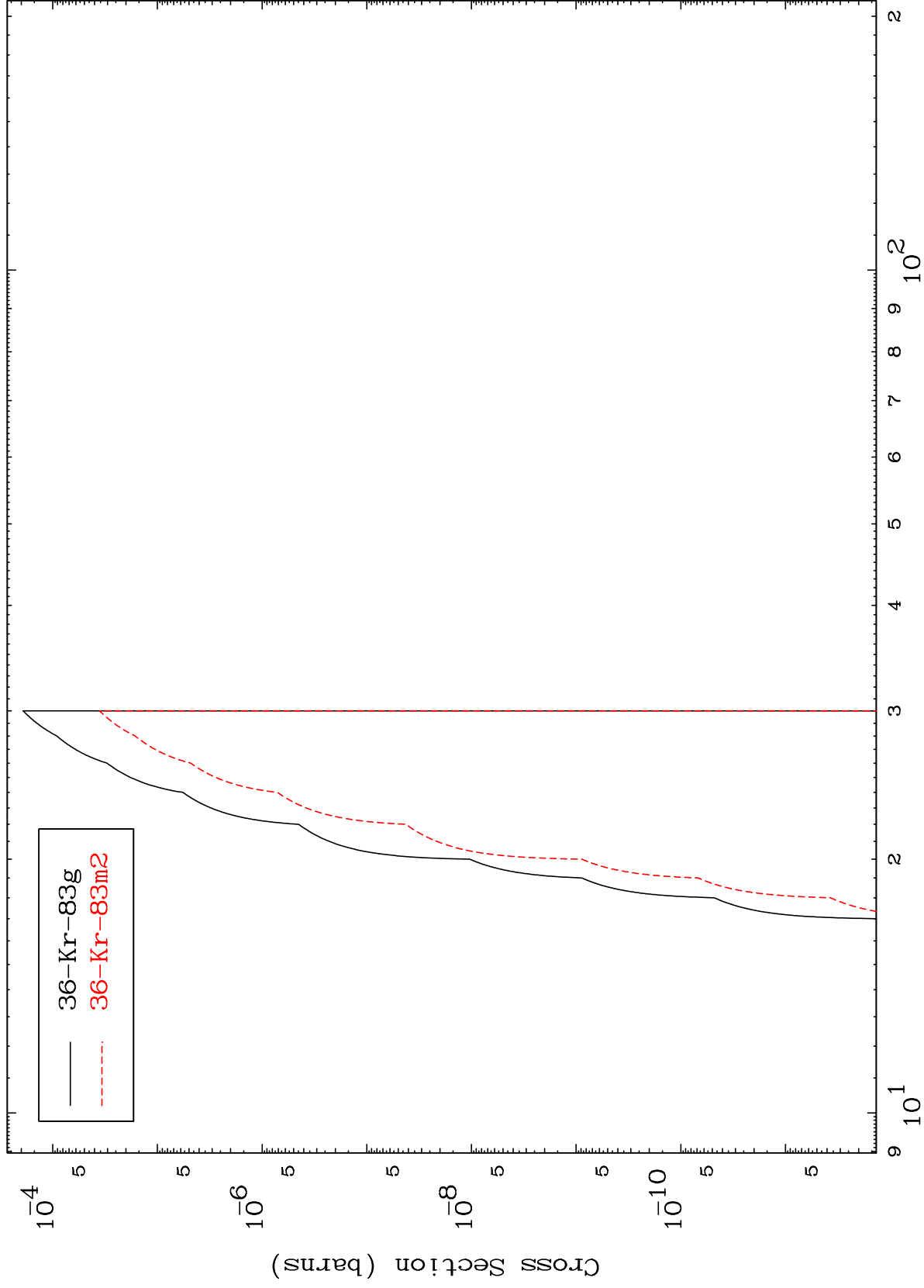
38-Sr-87m

MAT 3835

(n,n') p α

38-Sr-87m

Radionuclide Production Cross Section



23

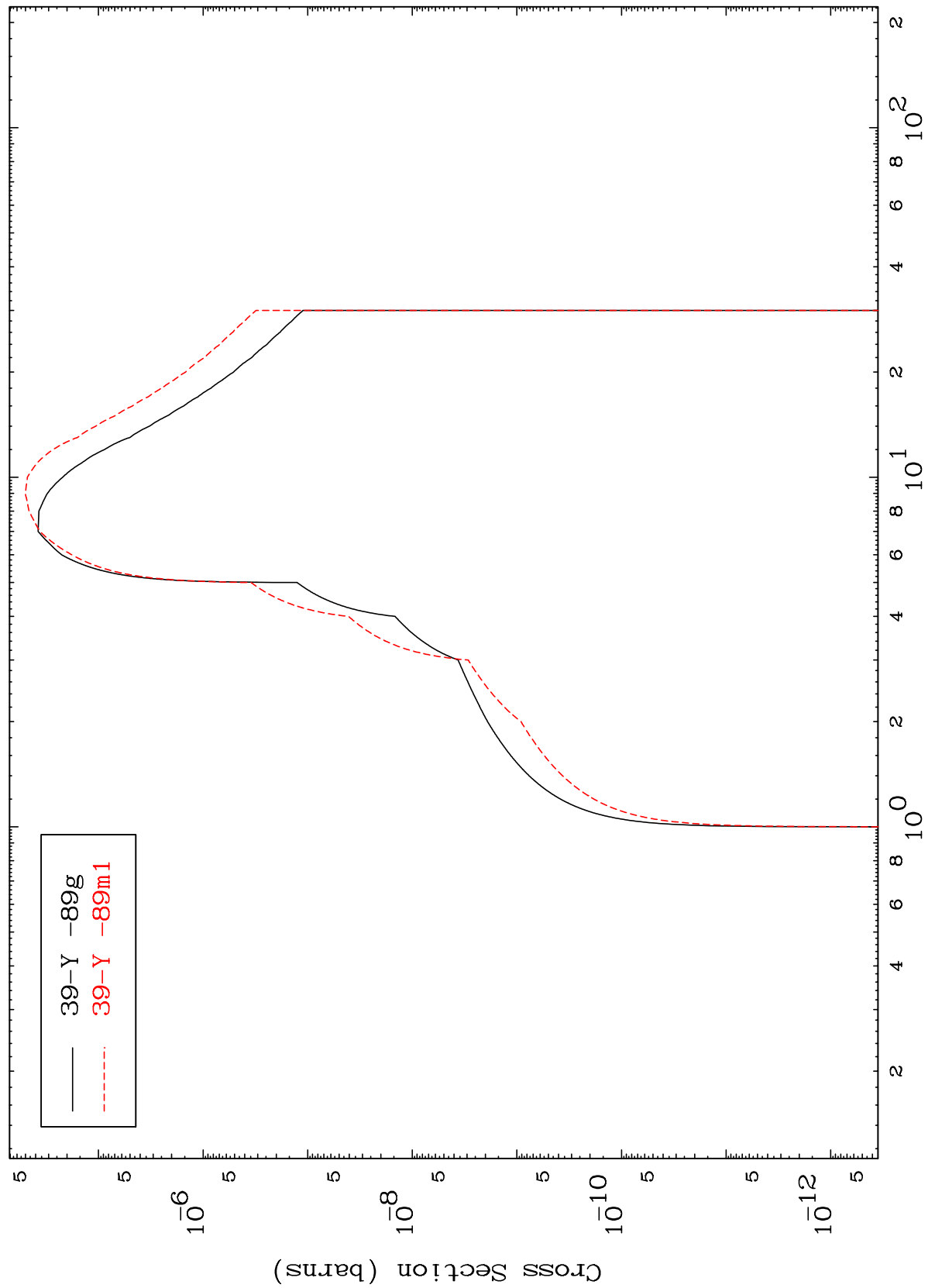
Incident Energy (MeV)

38-Sr-87m

MAT 3835

38-Sr-87m

(n, γ)
Radionuclide Production Cross Section



— 39-Y -89g
- - - 39-Y -89m1

38-Sr-87m

Incident Energy (MeV)

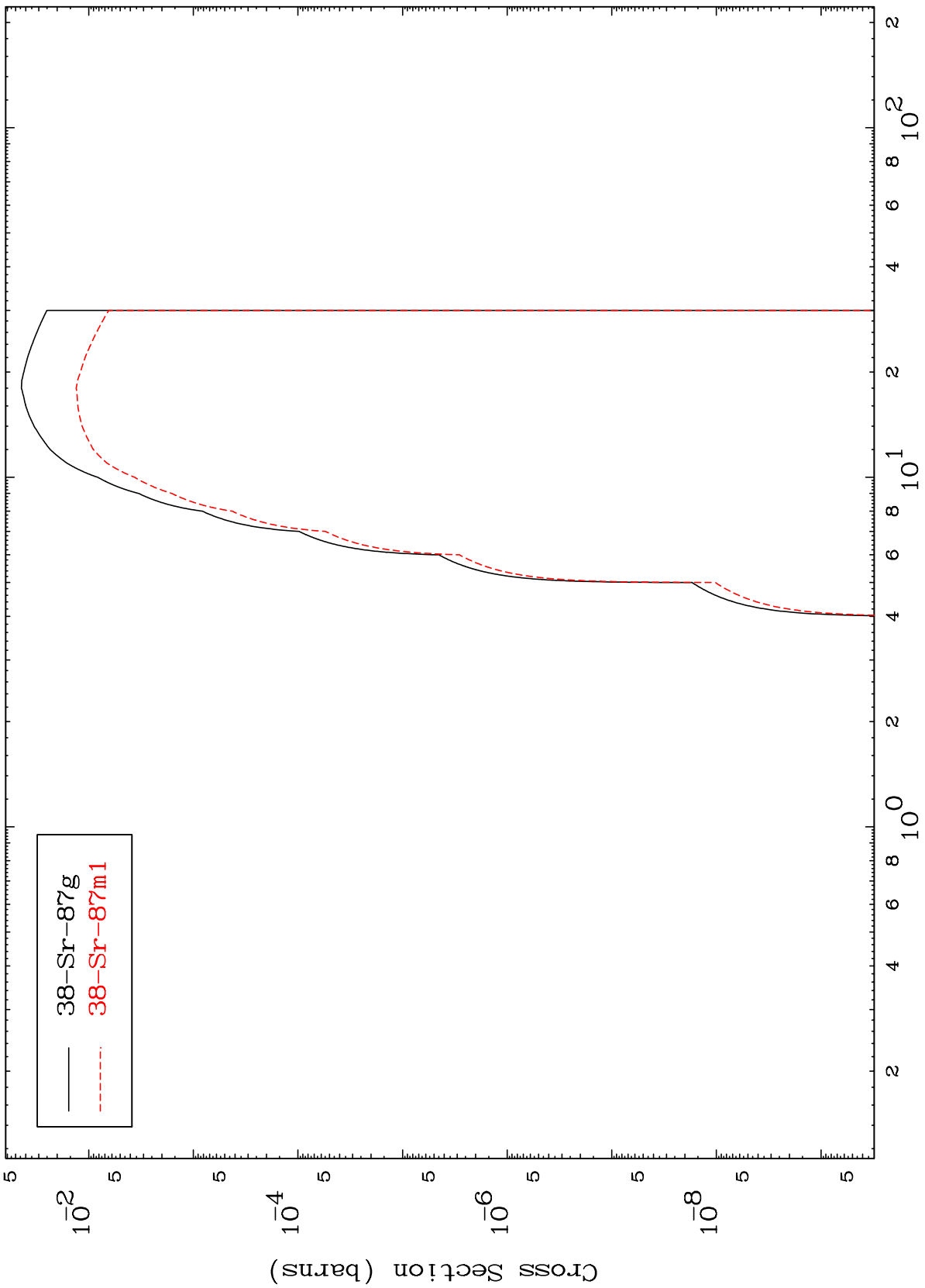
24

MAT 3835

(n,d)

³⁸Sr-⁸⁷m

Radionuclide Production Cross Section



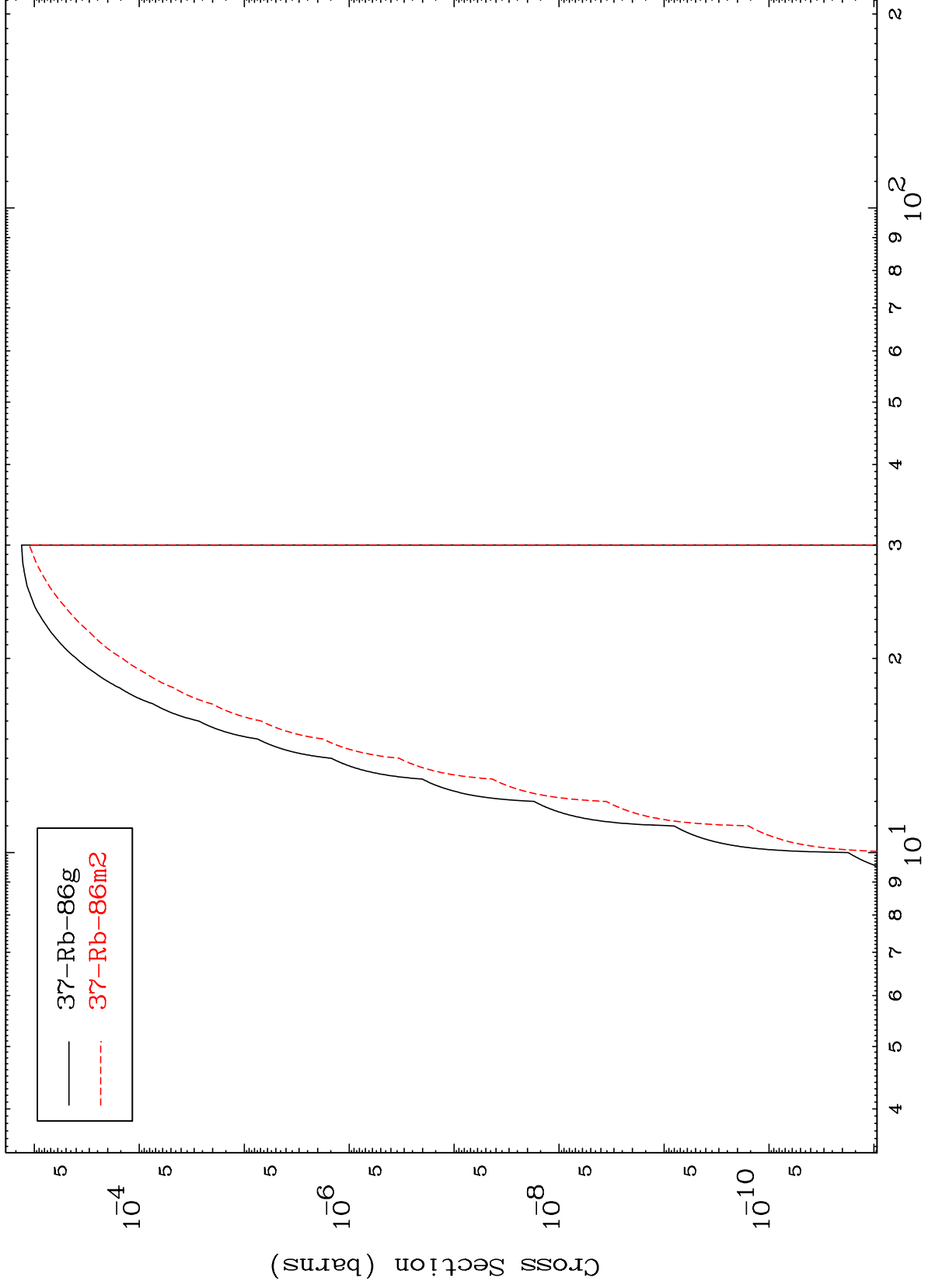
— 38-Sr-87g
- - - 38-Sr-87m1

MAT 3835

(n,He-3)

38-Sr-87m

Radionuclide Production Cross Section



26

Incident Energy (MeV)

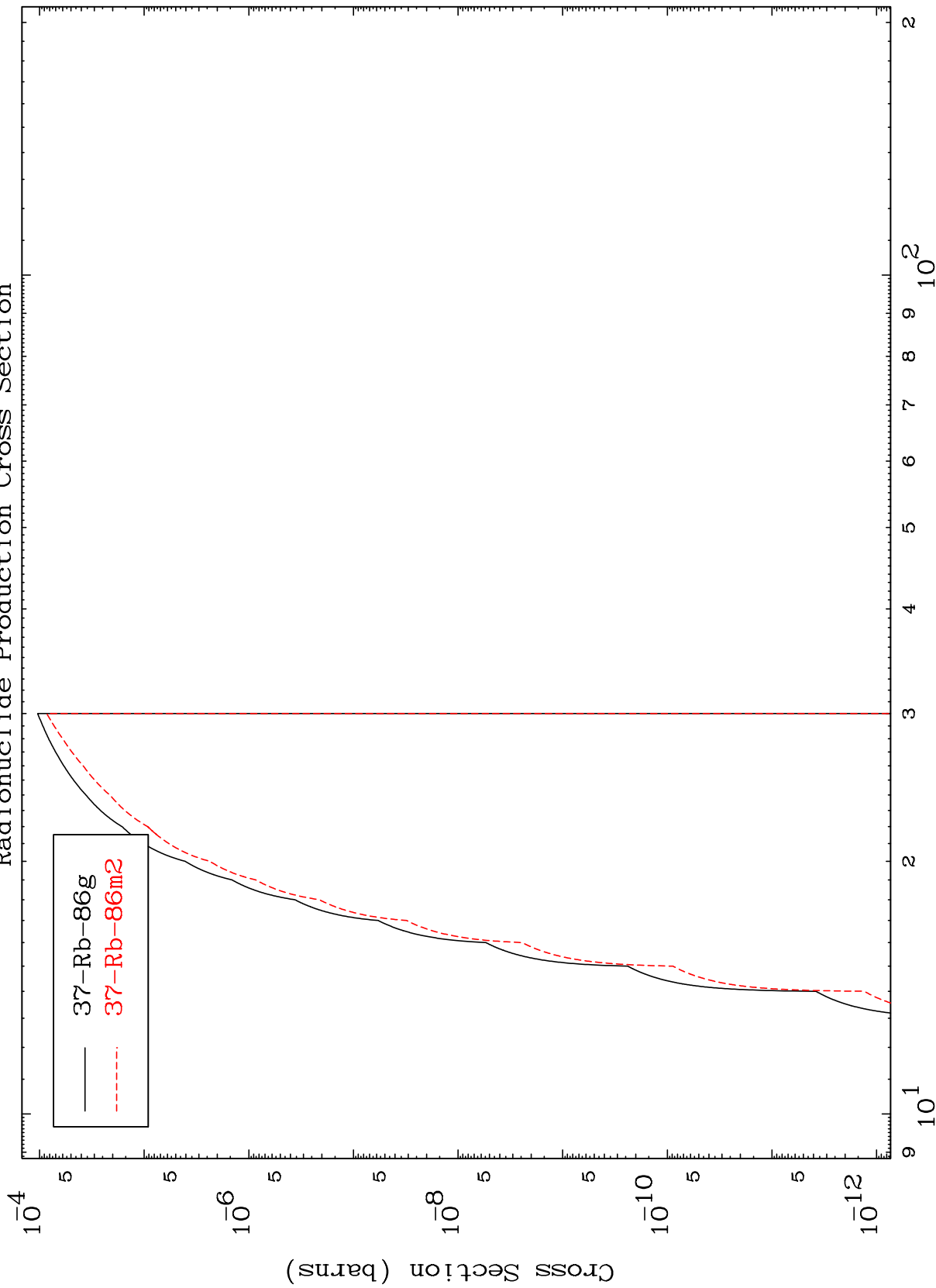
38-Sr-87m

MAT 3835

(n,p) d

38-Sr-87m

Radionuclide Production Cross Section



27

Incident Energy (MeV)

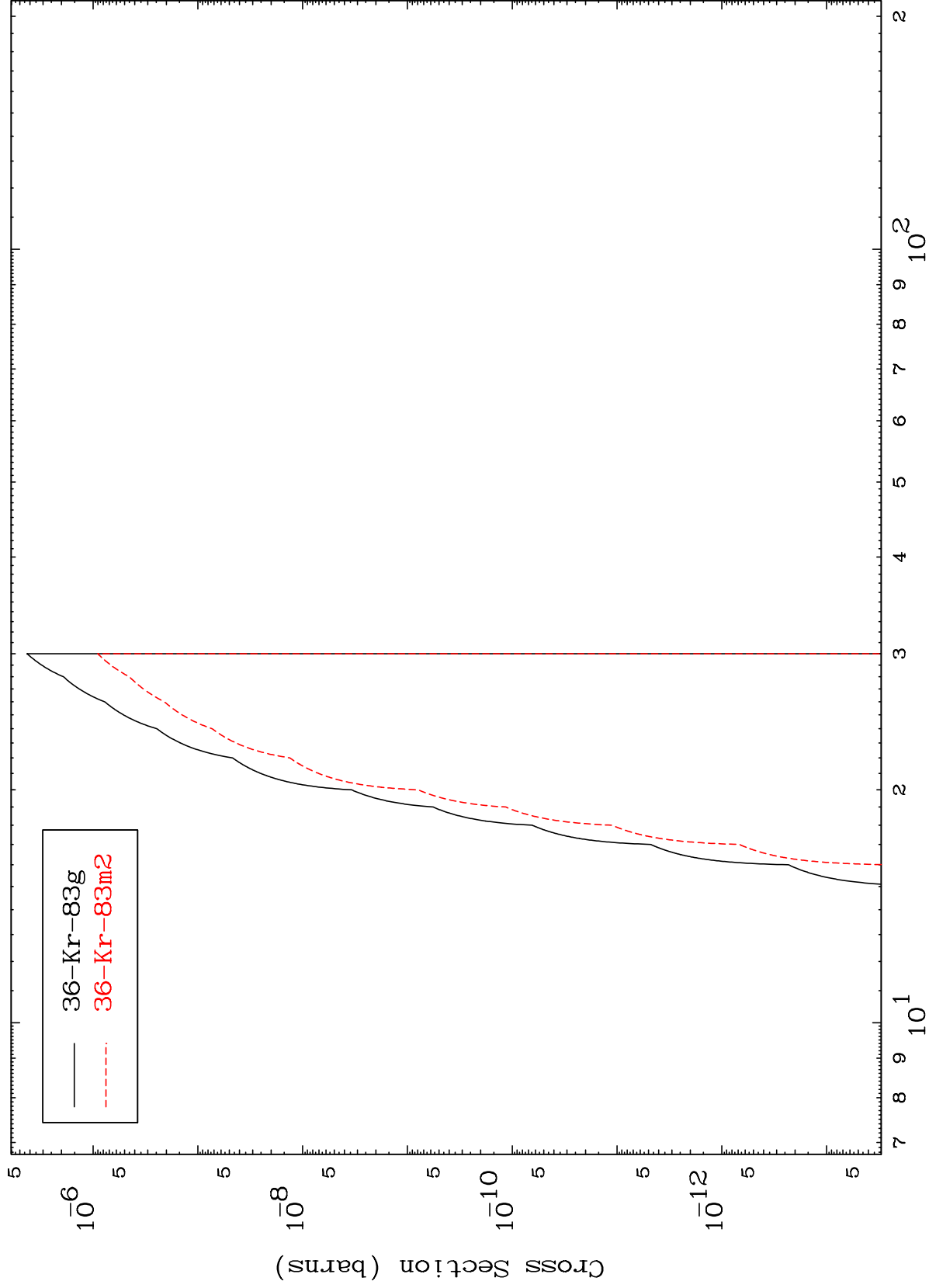
38-Sr-87m

MAT 3835

(n,d) α

38-Sr-87m

Radionuclide Production Cross Section



28

Incident Energy (MeV)

38-Sr-87m